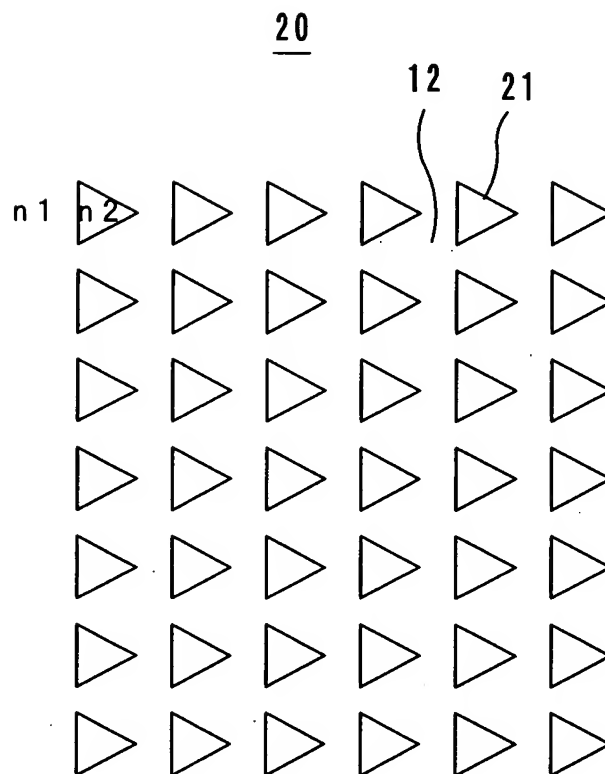
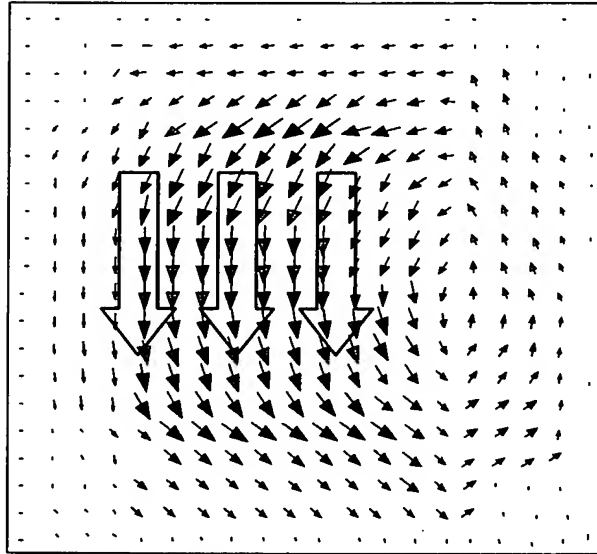


*F I G . 1*



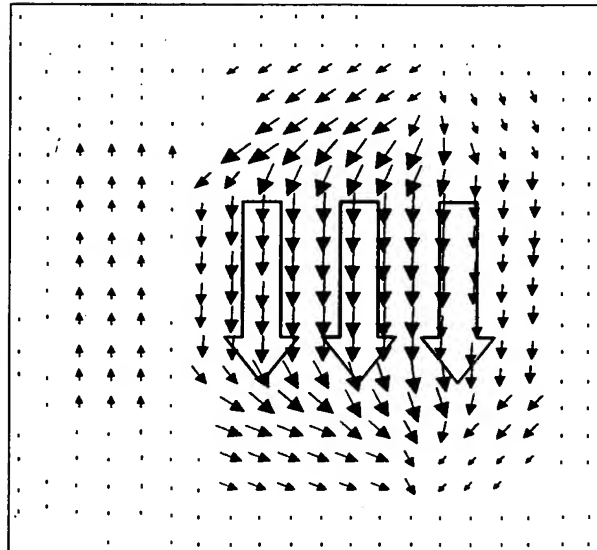
*F I G . 2*

MODE I"



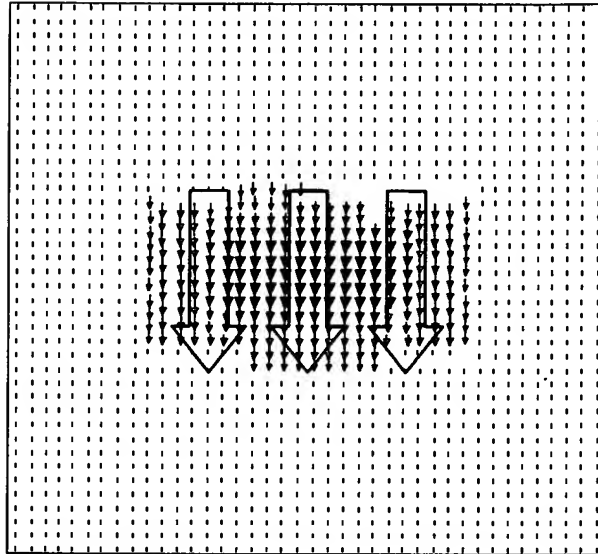
*F I G . 3*

MODE II"



*F I G . 4*

MODE III"



*F I G . 5*

MODE IV"

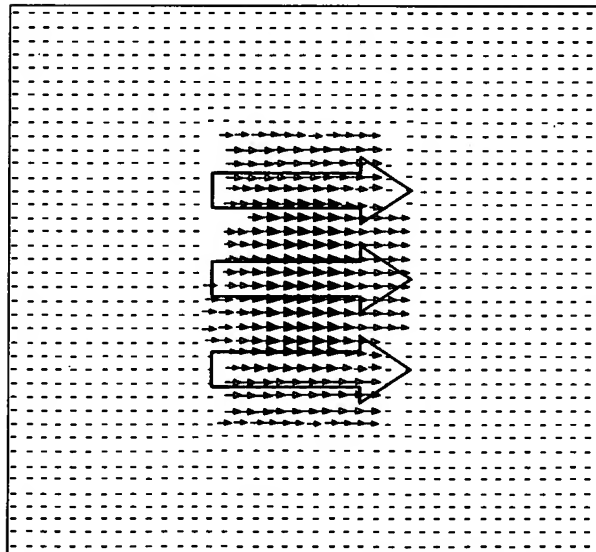


FIG. 6c

MODE 1

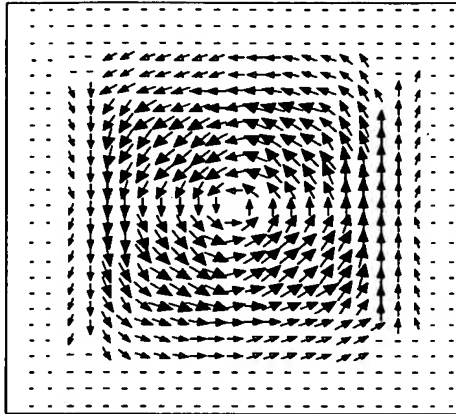


FIG. 6b

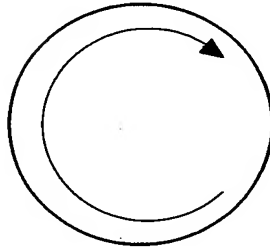


FIG. 6a

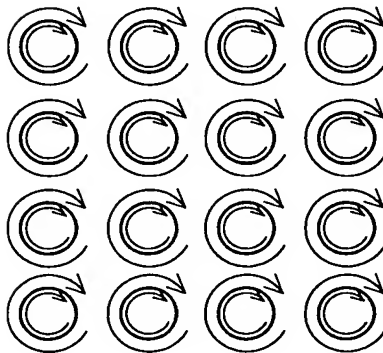


FIG. 7c

MODE 1'

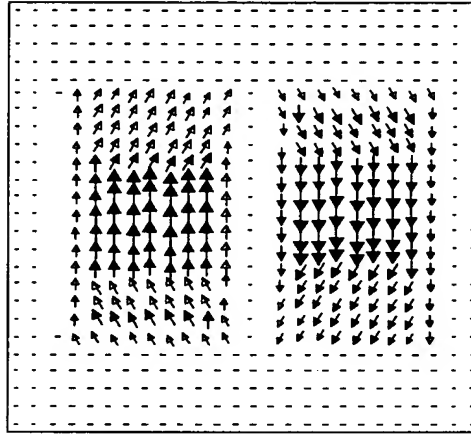


FIG. 7b

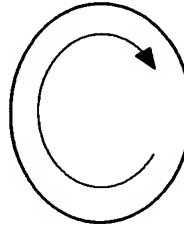


FIG. 7a

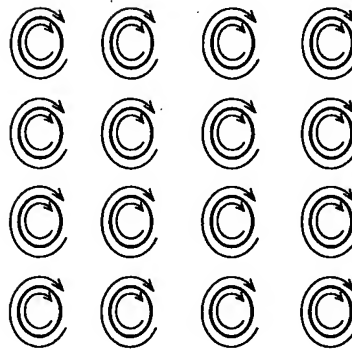


FIG. 8c

MODE 1"

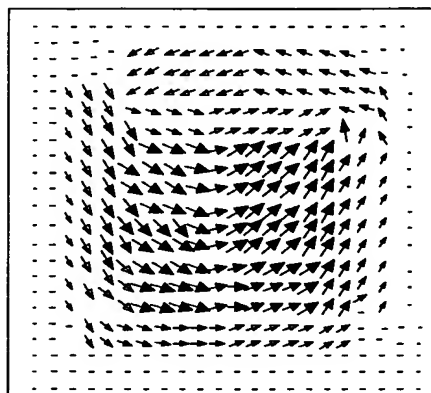


FIG. 8b

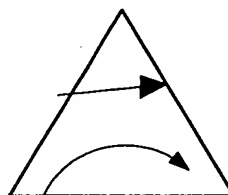
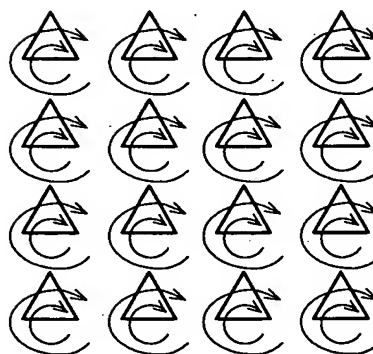
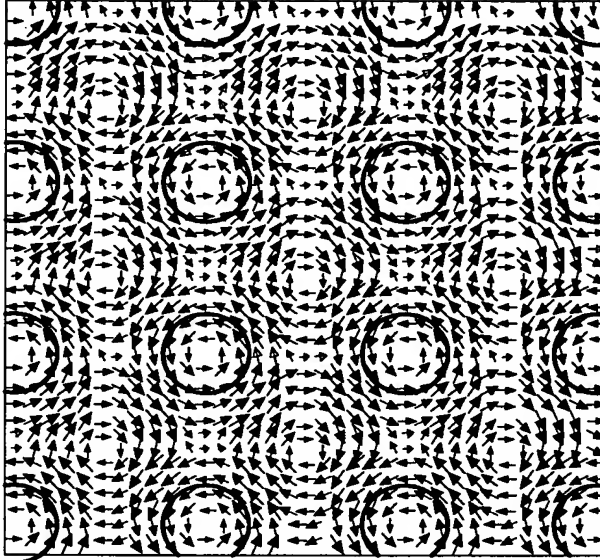


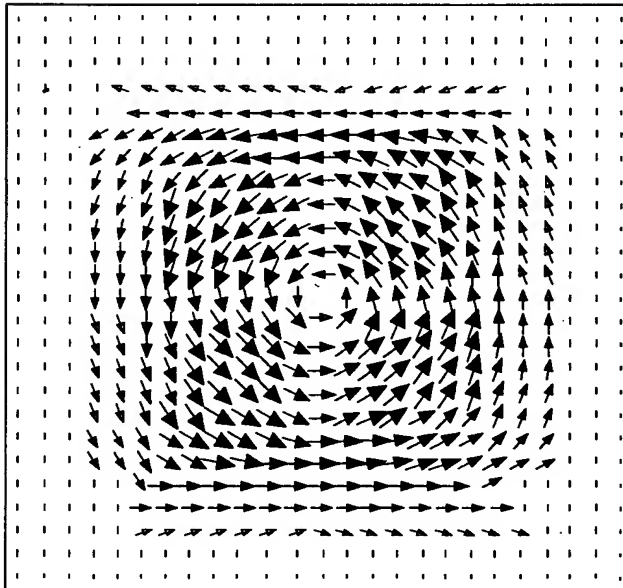
FIG. 8a



*F I G . 9 a*

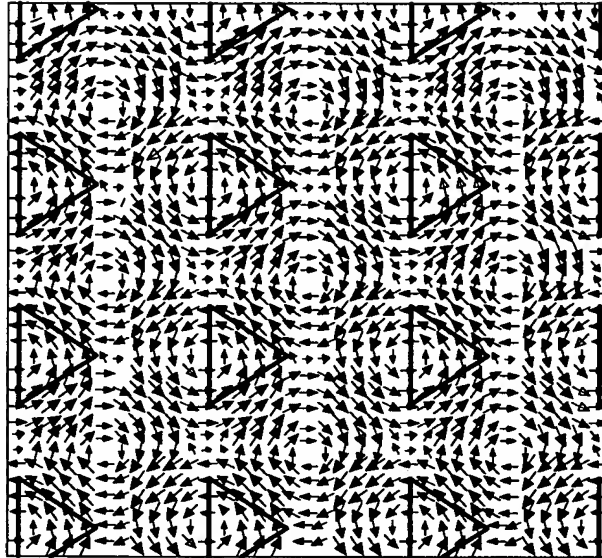


*F I G . 9 b*



10/550596

*F I G . 1 0 a*



*F I G . 1 0 b*

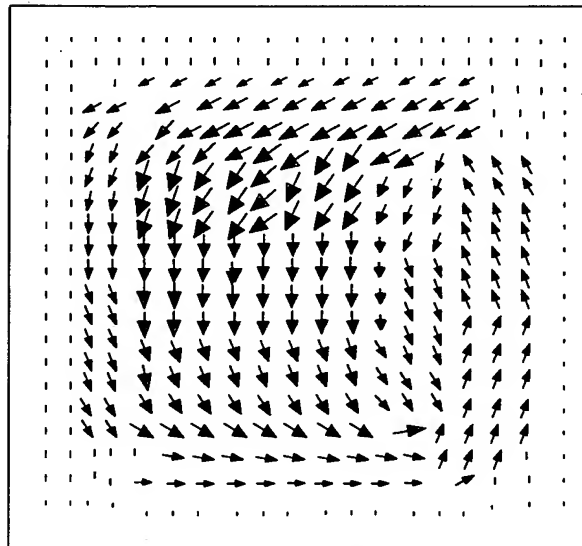




FIG. 11c

MODE II

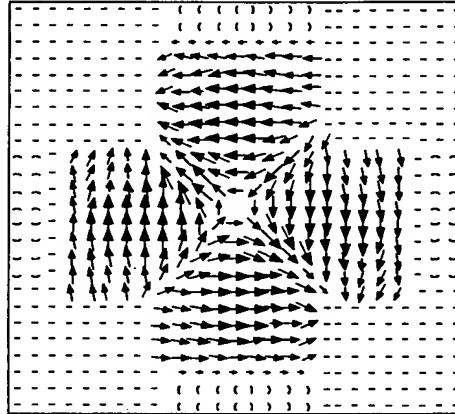


FIG. 11b

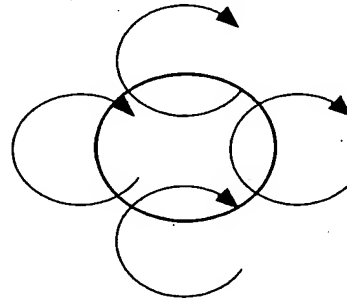


FIG. 11a

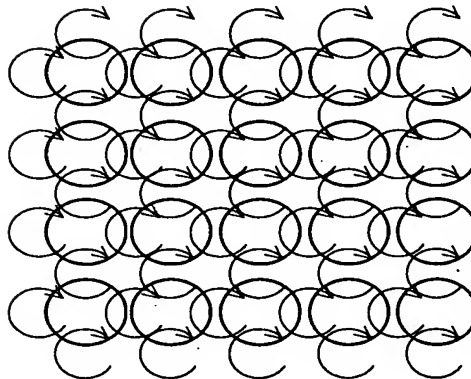


FIG. 12c

MODE II'

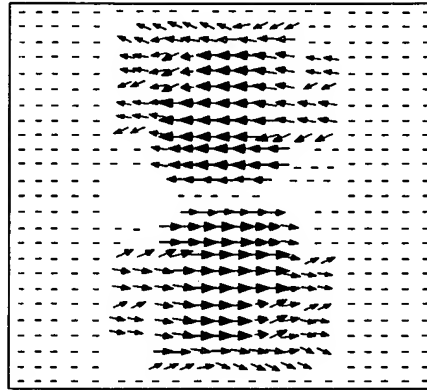


FIG. 12b

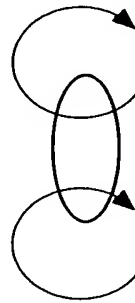


FIG. 12a

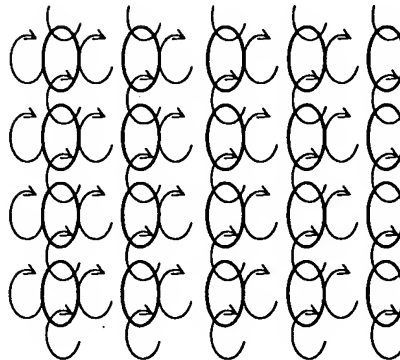


FIG. 13c

MODE II"

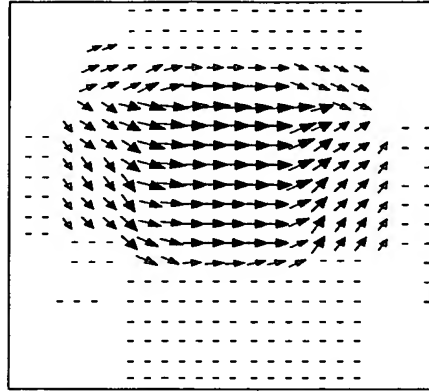


FIG. 13b

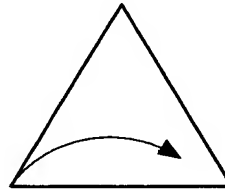
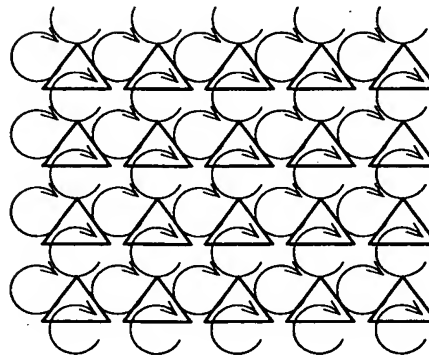
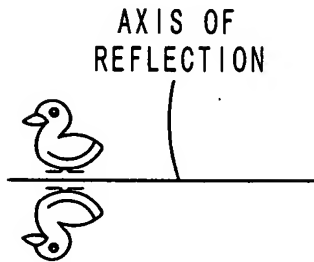


FIG. 13a

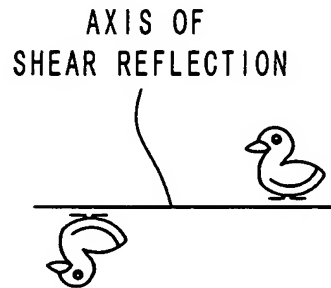


10/550596

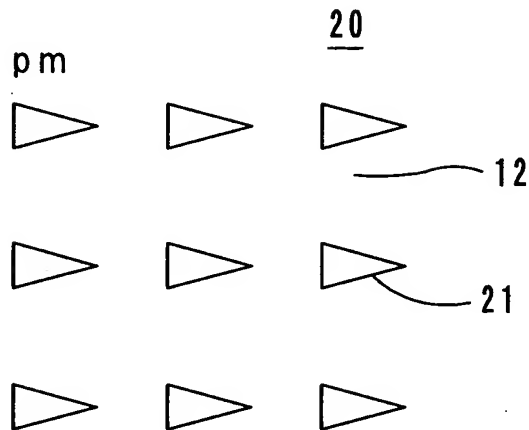
F I G . 1 4 a



F I G . 1 4 b



F I G . 1 5



F I G . 1 6

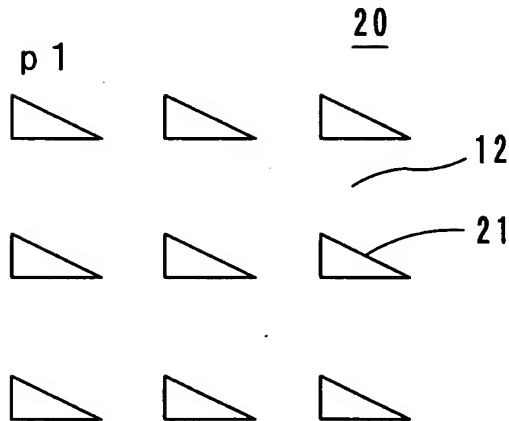


FIG. 17

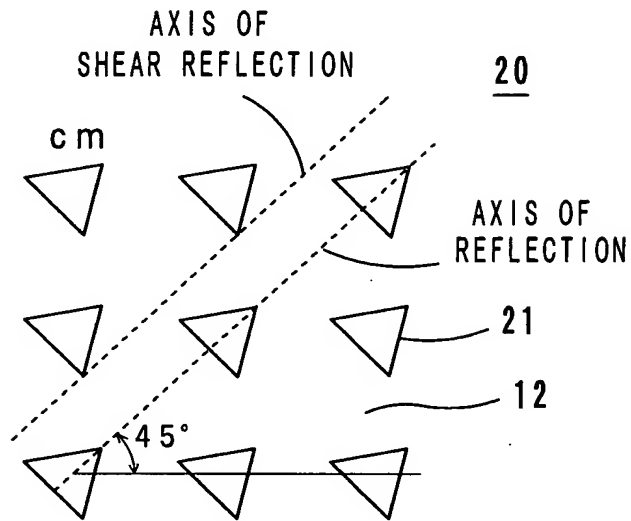


FIG. 18

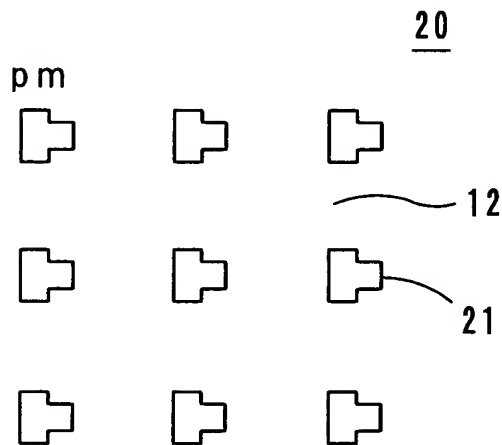


FIG. 19

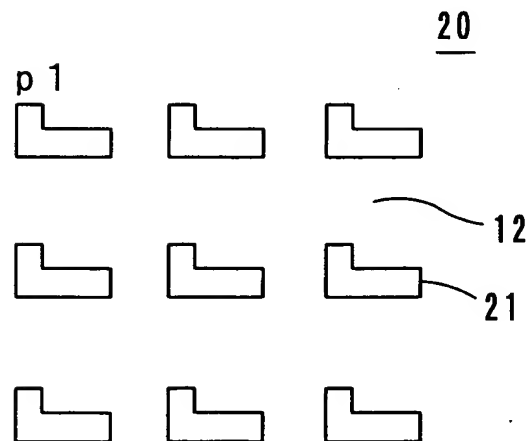


FIG. 20

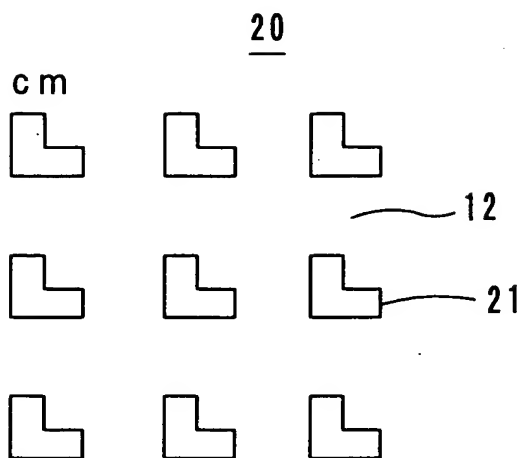


FIG. 21

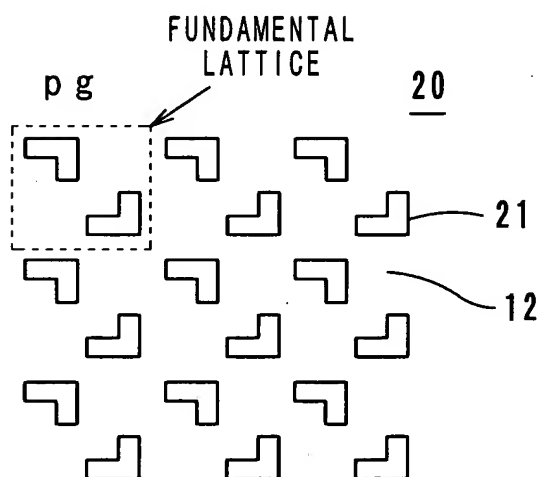


FIG. 22

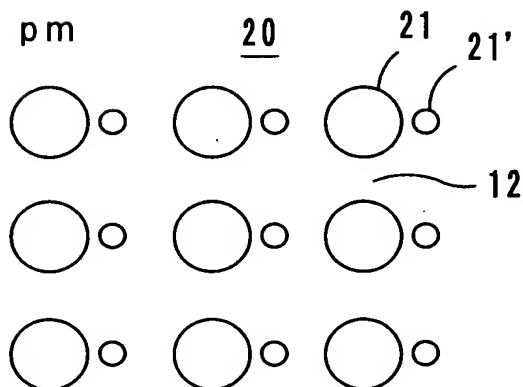


FIG. 23

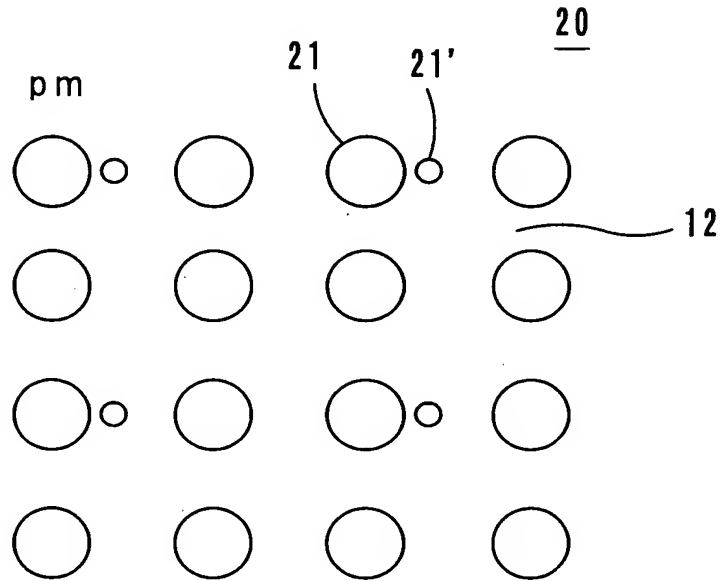


FIG. 24

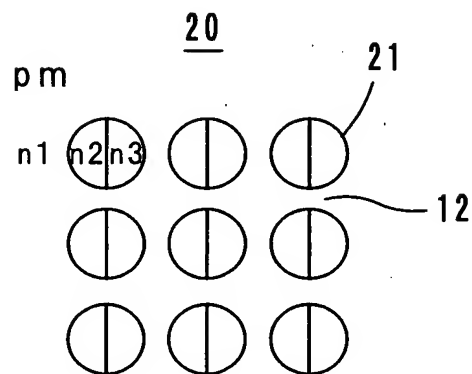


FIG. 25

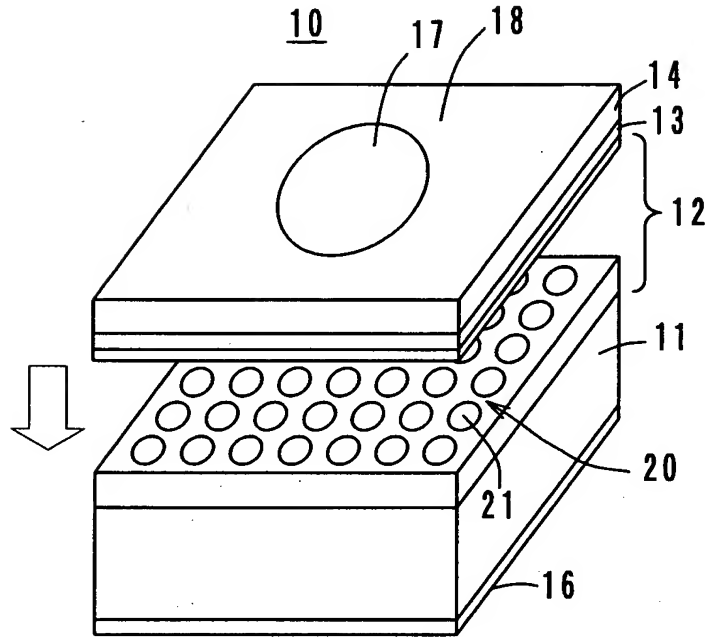


FIG. 26

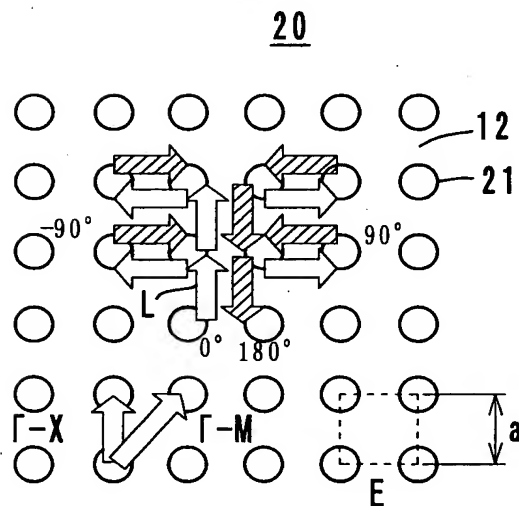




FIG. 27

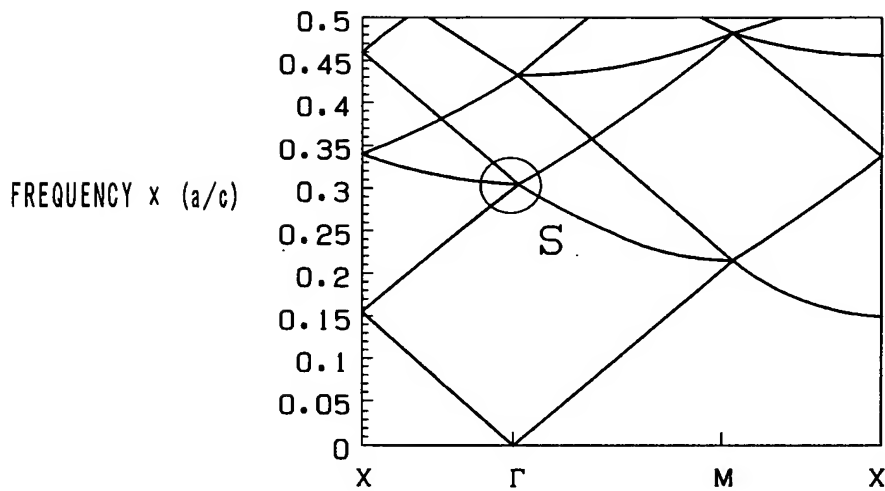
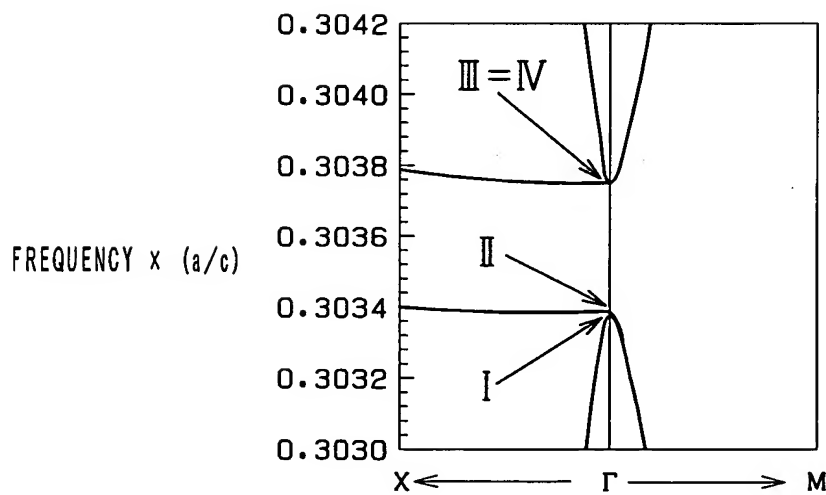


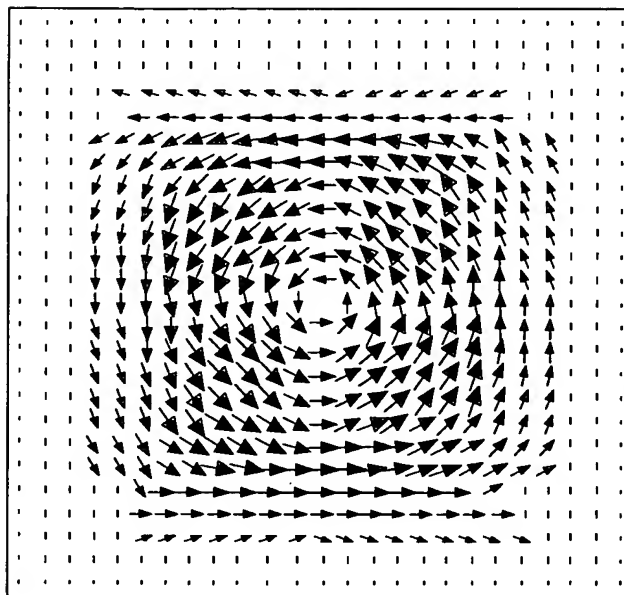
FIG. 28



10/550596

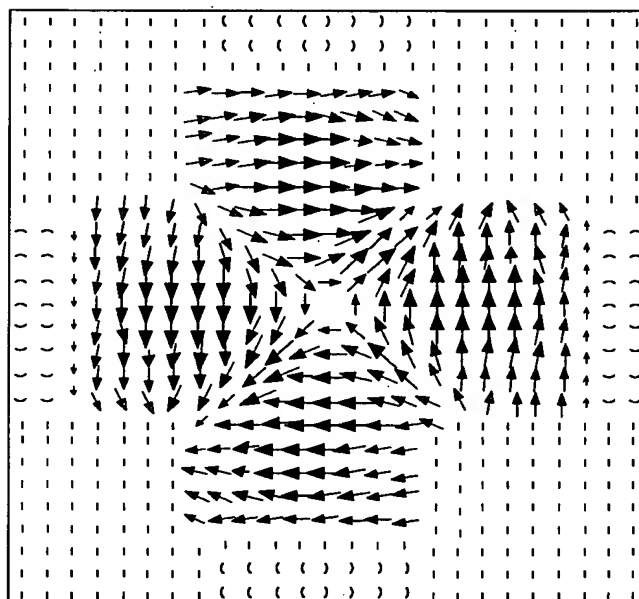
*F I G . 2 9*

MODE I

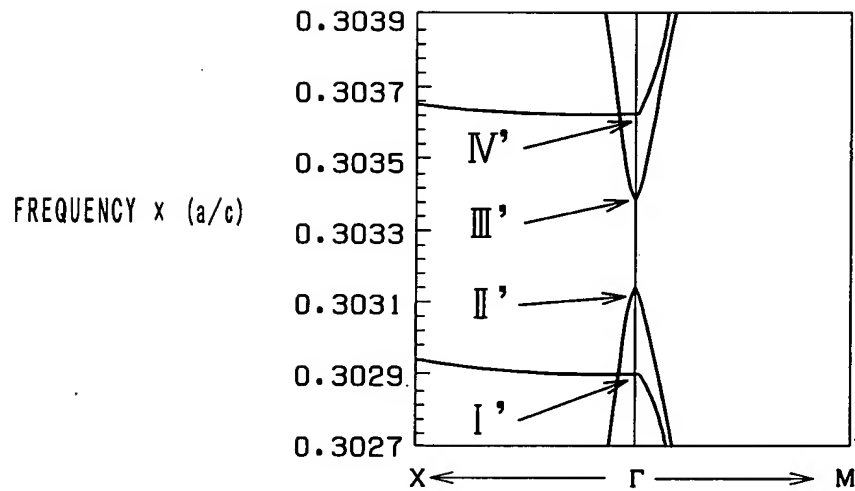


*F I G . 3 0*

MODE II

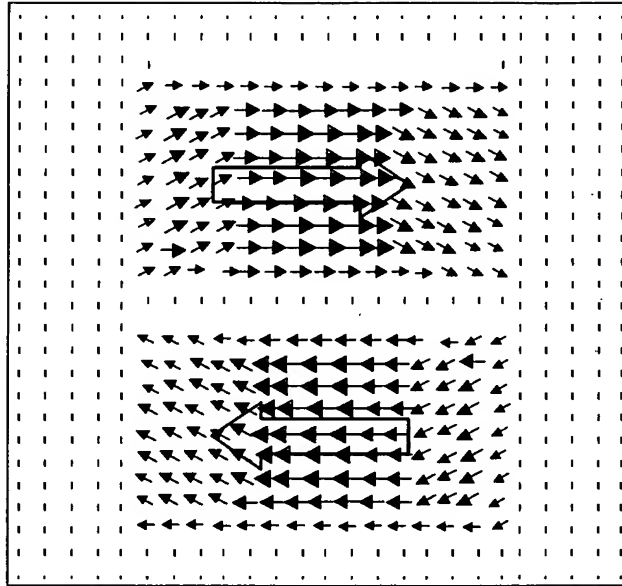


*F I G . 3 1*



*F / G . 3 2 a*

MODE I'



*F / G . 3 2 b*

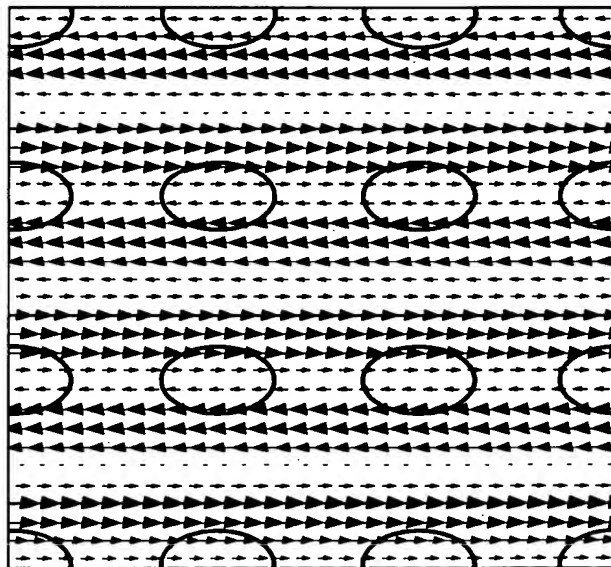


FIG. 33

MODE II'

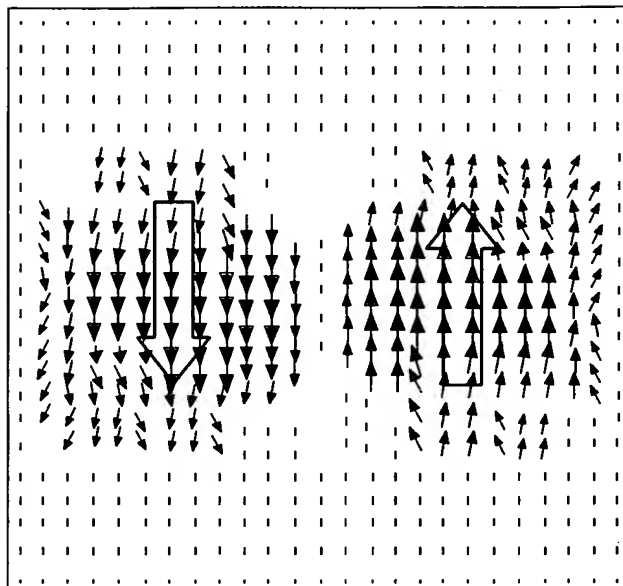
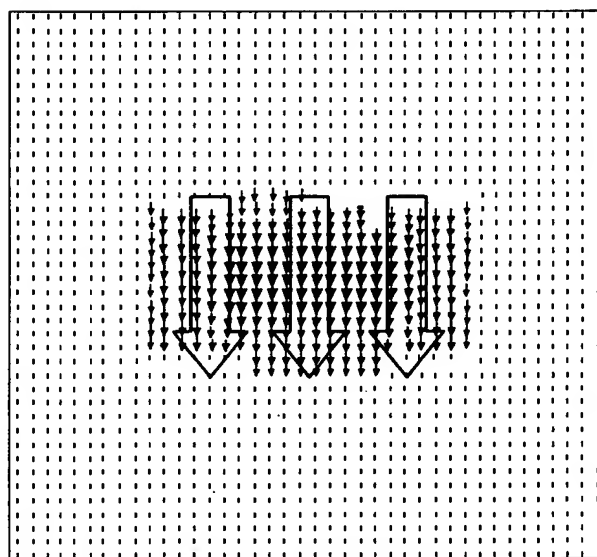


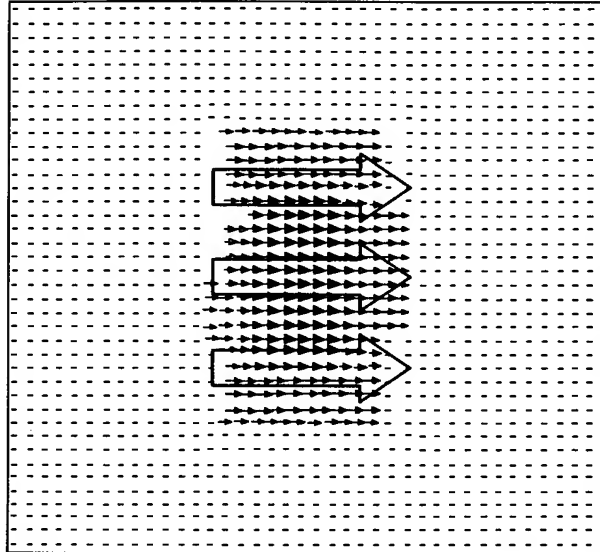
FIG. 34

MODE III'



*FIG. 35a*

MODE IV'



*FIG. 35b*

